

1. sous-variétés.

$f: \mathbb{R}^n_0 \rightarrow \mathbb{R}^p_0$ sans dérivée p. à 0, C^∞ , $f(0)=0$.

Théorème (difféomorphisme local) $f: \mathbb{R}^n_0 \supseteq$ do f bijective $\Rightarrow \exists U, V$ voisinages de 0 |

$f: U \xrightarrow{\cong} V$ difféomorphisme.

immersion en 0 $f: \mathbb{R}^n_0 \rightarrow \mathbb{R}^p_0$ do f injective.

proposition f immersion en 0 \Rightarrow existe un difféomorphisme local φ de \mathbb{R}^p en 0 |

$\varphi \circ f(x) = (x, 0)$ (injection linéaire)

démonstration par chgt de variables linéaire de \mathbb{R}^p , do $f(x) = (x, 0)$. $\mathbb{R}^p_0 \supseteq$

$(x, y) \mapsto f(x) + (0, y)$ difféomorphisme local d'inverse φ $\varphi(f(x)) = (x, 0)$.

submersion en 0 $f: \mathbb{R}^n_0 \rightarrow \mathbb{R}^p_0$ do f surjective.

proposition f submersion en 0 \Rightarrow existe un difféomorphisme local φ de \mathbb{R}^n en 0 |

$f \circ \varphi(x, y) = x$ (projection linéaire)

démonstration par chgt de variables linéaire de \mathbb{R}^n , do $f(x, y) = x$

$\mathbb{R}^n_0 \supseteq (x, y) \mapsto (f(x, y), y)$ difféomorphisme local d'inverse φ $f(\varphi(x, y)) = x$.

sous-variété de dimension d de \mathbb{R}^n $X \subset \mathbb{R}^n$ | pour tout x de X existe U

voisinage de x et $\varphi: U \xrightarrow{\cong} B$ $\varphi(U \cap X) = B \cap \mathbb{R}^d$. B boule centrée en 0

proposition $f: \mathbb{R}^n_x \rightarrow \mathbb{R}^p$

1) f immersion en $x \Rightarrow$ existe V voisinage de x | $f(V)$ sous-variété de \mathbb{R}^p de dimension n . (paramétrisée)

2) f submersion en $x \Rightarrow$ existe U voisinage de x | $f^{-1}(y) \cap U$ sous-variété de \mathbb{R}^n de dimension $n-p$. (équation)

démonstration on ramène tout en 0.

1) $\mathbb{R}^n_0 \xrightarrow{f} \mathbb{R}^p_0 \xrightarrow{\varphi} \mathbb{R}^p_0$ φ difféomorphisme local $\varphi \circ f(x) = (x, 0)$.
 $V = f^{-1}(U) \xrightarrow{f} U \xrightarrow{\varphi} B$ $\varphi(f(V)) = B \cap \mathbb{R}^n$.

2) $\mathbb{R}^n_0 \xrightarrow{\varphi} \mathbb{R}^n_0 \xrightarrow{f} \mathbb{R}^p_0$ φ difféomorphisme local $f \circ \varphi(x, y) = x$.
 $B \xrightarrow{\varphi} U \xrightarrow{f} \mathbb{R}^p$ $X = (f(V))^{-1}(0)$ $\varphi^{-1}(x) = B \cap \mathbb{R}^{n-p}$


globalement.

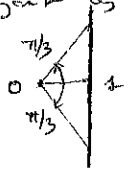
conséquence. $f: V \subset \mathbb{R}^n \rightarrow \mathbb{R}^p$ plongement (immersion + homéomorphisme sur son image)
 abs $f(V)$ sous-variété. (de dim n)


$f: U \subset \mathbb{R}^n \rightarrow \mathbb{R}^p$ y valeur régulière de f ; (x dans $f^{-1}(y) \Rightarrow dx f$ surjectif)
 abs $f^{-1}(y)$ sous-variété (de dim $n-p$)

exemples. S^2 via $f: \mathbb{R}^3 \setminus \{0\} \rightarrow \mathbb{R}$ $f(x,y,z) = x^2 + y^2 + z^2$ submersif. (2)
 T^2 via $f(\theta, \varphi) = ((2+\cos\theta) \cos\varphi, (2+\cos\theta) \sin\varphi, \sin\theta)$ f plait de $]0, 2\pi[\times]0, 2\pi[$

sur T^2 (deux cercles) puis déplacer les cercles en changeant les intervalles.

nécessité du plongement 

perchée par  suivi de $z \mapsto z^3$

variété en écorchure 

(immersion injective \Rightarrow plongement)

espace tangent. X sous-variété dans \mathbb{R}^n , x dans X , de dim d .

$$T_x X = \{ c'(0), c: \mathbb{R}, 0 \rightarrow \mathbb{R}^n, c(0) = x, \text{Im } c \subset X \}$$

c'est un sous-espace vectoriel: si $\varphi: U \xrightarrow{\sim} B$ U voisinage de x dans X
 alors φ est ouvert de \mathbb{R}^d et réciproquement d'où $T_x X = (d_x \varphi)^{-1}(\mathbb{R}^d)$ de dim d .

exemple S^2, T^2 .

proposition. X sous-variété de dim d de \mathbb{R}^n

1. $X = f(U)$ image d'un plongement $\Rightarrow T_{f(x)} X = \text{Im } d_x f$.
2. $X = f^{-1}(y)$ fibre d'une submersion $\Rightarrow T_x X = \text{Ker } d_x f$.

démonstration. 1. φ redressement local de X en $f(x)$. $d_{f(x)} \varphi \circ d_x f: \mathbb{R}^d \xrightarrow{\sim} \mathbb{R}^d$

$$d_x f(\mathbb{R}^d) = (d_{f(x)} \varphi)^{-1}(\mathbb{R}^d)$$

2. φ redressement local de X en x .

$$d_x f \circ (d_x \varphi)^{-1}(\mathbb{R}^d) = \{0\}$$

d'où $\text{Ker } d_x f \supset T_x X$ égalité par dim.

proposition. $X \subset \mathbb{R}^n$ sous-variété de dim d . $\Rightarrow X$ s'écrirait localement près de x
 comme un graphe sur $T_x X$. $X = x + \Gamma$ Γ graphe de $f: T_x X \rightarrow T_x X^\perp$ avec $f(0) = 0$ $df_0 = 0$

démonstration. on se ramène en 0. g paramétrise local de X $g(0) = x$
 $\parallel \vec{n} \perp T_x X^\perp$ φ^\perp project sur $T_x X^\perp$ $\parallel \vec{n} \perp T_x X$

$g: \mathbb{R}^d, 0 \rightarrow \mathbb{R}^n$ p project sur $T_x X$ $f = p^\perp \circ g \circ h$.

pos difféomorphisme local inverse h .

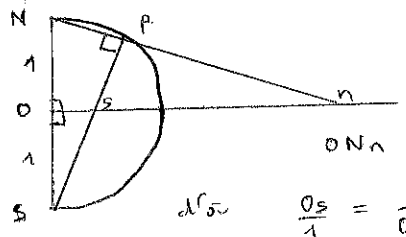
2. variétés

a) définition. X espace topologique variété de dimension d si couvert par des
 ouverts U_i $\varphi_i: U_i \xrightarrow{\sim} \varphi_i(U_i)$ ouvert de \mathbb{R}^d homéomorphisme carte avec

changement de carte C^∞ $\varphi_j \circ \varphi_i^{-1}: \varphi_i(U_i \cap U_j) \xrightarrow{\sim} \varphi_j(U_i \cap U_j)$

exemples. S^2 les deux projections stéréographiques $\mathbb{R}^2 \setminus \{0\} \ni x \mapsto \frac{x}{\|x\|^2}$

en effet se lit dans un plan vertical via:



trois triangles semblables (partagent de x angles)

$$ONn \sim NpS \sim OSs$$

$$d'où \frac{Os}{1} = \frac{1}{On} \quad Os \cdot On = 1$$

• $T^2 = \mathbb{R}^2 / \mathbb{Z}^2$ φ carte unité $\varphi_i = \varphi + \frac{1}{4}(\pm 1, \pm 1)$ $U_i = p(\varphi_i)$ chgt de carte, translations. (3)

• $P^2(\mathbb{R}) = \{[x:y:z]\}$ homogène. dtes non horizontales = $U_1 \cong \mathbb{R}^2$ $[x:y:z] \mapsto (\frac{x}{z}, \frac{y}{z})$
 chgt de cartes de type $(x,y) \mapsto (\frac{x}{y}, \frac{1}{y})$ \mathbb{R}^2 - axe \mathbb{Q} .

- sous-variété
- produit

Lues dans les cartes :

$f: X \rightarrow Y \in C^\infty$, immersion, submersion, difféomorphisme, plongement, valeur régulière, sous-variété.

proposition $f: X \rightarrow Y \in C^\infty$ 1) f plongement alors $f(X)$ sous-variété de Y
 2) Y valeur régulière alors $f^{-1}(y)$ sous-variété de X .

b) partition de l'unité.

construire des objets C^∞ par recollage.

plateau $\theta: \mathbb{R}^+ \rightarrow \mathbb{R} \in C^\infty$ $0 \leq \theta \leq 1$ $\text{Supp } \theta \subset [0, 1]$ $\theta \equiv 1$ près de 0.

lemme x dans X V voisinage de x existe χ plateau $\text{Supp } \chi \subset V$.

démonstration qu'elle a réduite V et translater, dilater la carte $\varphi: V \xrightarrow{\sim} B$.

prendre $\chi = \theta(\|v\|^2)$

partition de l'unité. X compacte (U_i) recouvrement fini d'ouverts. Existence

$\chi_i \in C^\infty$ sur X $0 \leq \chi_i \leq 1$ $\text{Supp } \chi_i \subset U_i$ $\sum \chi_i = 1$

démonstration x dans X donc dans un U_i V_x voisinage $\subset U_i$

θ_x plateau associé. $(\theta_x > 0) = W_x$. on extrait un recouvrement fini des W_x

d'où $W_j \subset V_j$ θ_j par hypothèse $\sum \theta_j \in C^\infty > 0$

$\chi_i = \frac{\theta_j}{\sum \theta_j}$ $\sum_{V_j \subset U_i} \theta_j$ convient.

plongement de Whitney

X variété compacte se plonge dans \mathbb{R}^n (n grand), donc difféomorphe à une sous-variété de \mathbb{R}^n .

démonstration X de dimension d x dans X $U_x \xrightarrow{\varphi_x} B$

carte locale, χ_x plateau local $\text{Supp } \chi_x \subset U_x$ $V_x \subset (\chi_x \equiv 1)$

recouvrement fini des V_x : $V_i \subset U_i$ $\varphi_i \chi_i$ $i = 1 \dots k$.

$f: X \rightarrow \mathbb{R}^{kd+k}$ $x \mapsto (\chi_1 \varphi_{1,1}, \dots, \chi_k \varphi_{k,k}, \chi_1, \dots, \chi_k)$ plongement:

immersion car dans V_i $\chi_i \varphi_i = \varphi_i$ immersion.

injective $f(x) = f(y)$ $\chi_i(x) = 1 \Rightarrow \chi_i(y) = 1 \Rightarrow \varphi_i(x) = \varphi_i(y) \Rightarrow x=y$.

Classification des variétés de dimension 1.

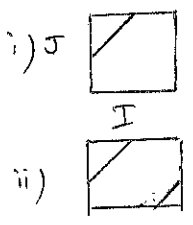
X compacte connexe de dimension 1 alors X difféomorphe à S^1 .

démonstration X plongée dans \mathbb{R}^n on utilise la métrique de \mathbb{R}^n : paramètres à vitesse 1 locaux $c_j: I_j \rightarrow X$ en nombre fini (compacité) on peut supposer $c_j(I_j) \cap c_{j+1}(I_{j+1}) \neq \emptyset$ (connexité).

lemme $c: I \rightarrow X$ $d: J \rightarrow X$ paramètres à vitesse 1, $c(I) \cap d(J) \neq \emptyset$ alors
i) ou $c(I) \cap d(J)$ connexe et on peut paramétrer à vitesse 1 $c(I) \cup d(J)$
ii) ou $c(I) \cap d(J)$ non connexe et $X \cong S^1$.

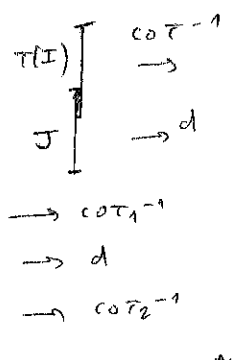
suffit: si $X \neq S^1 \Rightarrow X = c_1(I_1) \cup \dots \cup c_k(I_k)$ homéomorphe à un intervalle ouvert, donc non compact.

démonstration du lemme $\Gamma \subset I \times J$ $\Gamma = \{(s,t) \mid c(s) = d(t)\}$ fermé de $I \times J$ constitué de segments ouverts de pente ± 1 . Ils doivent aller du bord au bord par fermeture, et Γ se projette injectivement sur I et J donc les bords (gauche, droite, haut, bas) n'apparaissent qu'une fois. Il y a au plus deux segments, s'il y en a deux ils joignent deux côtés adjacents, donc sont de même pente. Quitte à reparamétrer, la pente est 1.



i) Γ graphe d'une translation $\tau = d^{-1} \circ c$

ii) Γ graphe de deux translations τ_1, τ_2



se recollent, paramétrant $c(I) \cup d(J)$

$L = J \cup \tau_1(I) \cup \tau_2(I) \rightarrow X$
d'image ouverte
parce au quotient
par $L / \sim \cong X$

d'image fermée donc $S^1 = L / \sim \cong X$.

c) variétés à bord

cartes à valeurs dans $(\mathbb{R}^d)^+$, changements de cartes préservant \mathbb{R}^{d-1}
bord de X ∂X de dimension $d-1$ exemples $[0,1]$ D^2

Classification des variétés à bord de dimension 1.

X compacte connexe à bord de dimension 1 alors X difféomorphe à $[0,1]$.

démonstration $2X \subset X_1 \amalg X_2 / \partial X_1 = \partial X_2$ (X_i copie de X) compacte connexe sans bord, donc $2X \cong S^1$ $2X - \{pts \text{ de recollement}\} = X_1 \amalg X_2$ a deux composants connexes d'où $\# \partial X = 2$ et $X \cong$ arc fermé de $S^1 \cong [0,1]$

proposition $f: X \rightarrow Y$ X à bord, Y sans bord, Y régulière par $f \leftarrow f|_{\partial X}$ alors $f^{-1}(y)$ à bord et $\partial(f^{-1}(y)) = f^{-1}(y) \cap \partial X$

d) espace tangent

$T_x X = \{ \text{courbes de } X \text{ passant par } x \} / \sim$ être tangentes en x : tangente en x : lu dans un carte.

U ouvert de \mathbb{R}^d $T_x U \cong \mathbb{R}^d, [c] \mapsto c'(0)$

X sous-variété de \mathbb{R}^n (variété) $T_x X \cong T_x \mathbb{R}^n$ (sous-variété), $[c] \mapsto c'(0)$

différentielle. $f: X \rightarrow Y$ induit $d_x f: T_x X \rightarrow T_{f(x)} Y$. naturalité.

$T_x X$ bien espace vectoriel φ carte induit $d_x \varphi: T_x X \cong \mathbb{R}^d$. qui transporte la structure, invariante par changement de carte car $d_x(\varphi \circ \varphi^{-1})$ linéaire.

champ de vecteurs choix d'un vecteur de $T_x X$ C^∞ en x (i.e. $d_x \varphi(v(x)) \in C^\infty$)

U ouvert de \mathbb{R}^d : donnée de $v: U \rightarrow \mathbb{R}^d$ C^∞ , v constant, v radial.

X sous-variété de \mathbb{R}^n : donnée de $v: X \rightarrow \mathbb{R}^n$ C^∞ , $v(x)$ dans $T_x X$, v Nord-Sud sur S^2 .

intégrer un champ de vecteur. chercher des courbes intégrales, $c: I \rightarrow X$ C^∞ | $c' = v(c)$.

Cauchy-Lipschitz: existence et unicité locales des courbes intégrales : v champ de vecteurs de X , x donné alors $c: \mathbb{R}, 0 \rightarrow X$ | $c(0) = x$ $c' = v(c)$ existe et est unique.

existence et unicité globale: si X est compacte, ou v à support compact abs. on la note c_x . $c: \mathbb{R} \rightarrow X$ | $c(0) = x$ $c' = v(c)$ existe et est unique.

dépendance des conditions initiales: $\mathbb{R} \times X \rightarrow X$ $(t, x) \mapsto c_x(t)$ C^∞

flot associé à v sur X compacte, ou si v est à support compact.

$\varphi_t(x) = c_x(t)$ $\varphi_t: X \rightarrow X$ C^∞ $\varphi_{t+s} = \varphi_t \circ \varphi_s$ t, s dans \mathbb{R} .

car si $y = c_x(s)$ alors $c_y(t) = c_x(s+t)$ (solutions de $c' = v(c)$ avec $c(0) = y$)

donc $(\varphi_t)^{-1} = \varphi_{-t}$ C^∞ et $\mathbb{R} \rightarrow \text{Diff}(X)$, $t \mapsto \varphi_t$ groupe à un paramètre de difféomorphismes.

exemple: dans \mathbb{R}^d $v(x) = v$ $\varphi_t(x) = x + tv$, $v(x) = x$ $\varphi_t(x) = e^t x$.

conséquence X connexe abs $\text{Diff}(X)$ agit transitivement sur X .

démonstration. $x \sim y$ s'il existe f difféo | $f(x) = y$: classes ouvertes (dans une seule)

$x \in U \xrightarrow{\varphi} B$ $\varphi(x) = 0$ $\varphi(y) = z$ v champ de vecteurs à support compact dans B $v = Xz$ z point | $[0, z] \subset (X \neq 1)$ alors $\varphi_1(0) = z$ et $\varphi_1 = \text{Id}$

près de ∂B d'où $f = \varphi^{-1} \circ \varphi_1 \circ \varphi$ se prolonge par Id à X .

remarque par construction on a même: $\text{Diff}_0(X)$ agit transitivement sur X (difféomorphismes isotopes à l'identité).

3. Sard.

a) Sard

dans \mathbb{R}^n peu de valeurs critiques (non régulières) $C(f)$ VC(f)

théorème $f = U \subset \mathbb{R}^n \rightarrow \mathbb{R}^p \in C^\infty$ $\text{Vol}(VC(f)) = 0$.

conséquence les valeurs régulières de f (éventuellement non atteintes) sont denses.

démonstration

• cas facile $n < p$ $\varphi = [0,1]^n$ après localisation. subdivisons en k^n φ_i on a

$f(\varphi_i) \subset B(f(\varphi_i), \frac{c}{k})$ donc $\text{Vol}(f(\varphi_i)) \leq C' k^{n-p} \rightarrow 0$

• cas semi facile $n = p$ même démarche on ne retient que les cubes critiques $\varphi_i \mid \varphi_i \cap C(f) \neq \emptyset$.

$f \mid \varphi_i$ proche de $f(\varphi_i) + d\varphi_i f$ par la formule de Taylor, φ_i critique. $f(\varphi_i) \subset (d\varphi_i f(\varphi_i) + f(\varphi_i)) \subset \frac{c}{k^2}$

$\text{Vol}((d\varphi_i f(\varphi_i))) \subset \frac{c}{k^2} \leq \frac{c'}{k^{n+1}}$ car la dimension de $d\varphi_i(f(\varphi_i))$ est $\leq n-1$.

donc $\text{Vol}(f(\varphi \cap C(f))) \leq C' k^{-1} \rightarrow 0$

• cas général récurrence sur n . $n=1$ bon on copie $C(f)$: $m \cdot p > n$.

$C(f) = \underbrace{(C(f) - (df=0))}_{C_1} \cup \underbrace{(df=0 - (d^2f=0))}_{C_2} \cup \dots \cup \underbrace{(df=0 - \dots - (d^{m-2}f=0) - (d^{m-1}f=0))}_{C_{m-1}} \cup \underbrace{(df=0 - \dots - (d^{m-1}f=0))}_{C_m}$.

• $\text{Vol}(f(C_m)) = 0$ même démarche que pour $n=p$: $\varphi_i \mid \varphi_i \cap C_m \neq \emptyset$.

$f \mid \varphi_i$ proche de $f(\varphi_i)$ à l'ordre m par Taylor $f(\varphi_i) \subset B(f(\varphi_i), \frac{c}{k^m})$ d'où.

$\text{Vol}(f(\varphi_i)) \leq \frac{c'}{k^{mp}}$ et $\text{Vol}(f(\varphi \cap C_m)) \leq C' k^{n-mp} \rightarrow 0$

• $\text{Vol}(f(C_i)) = 0$ $2 \leq i \leq m-1$. exemple C_2 . $C_2 \subset \cup (\frac{\partial f_i}{\partial x_j} = 0, \frac{\partial^2 f_i}{\partial x_j \partial x_k} \neq 0)$

ce sont des sous-variétés X de dimension $n-1$ dans \mathbb{R}^n de plus $C_2 \cap X \subset C(f \mid X)$
donc $f(C_2 \cap X) \subset VC(f \mid X)$ or par récurrence $\text{Vol}(f(C_2)) = 0$ (paramétriser localement X).

• $\text{Vol}(f(C_1)) = 0$. $U - (df=0) = \cup (U - (\frac{\partial f_i}{\partial x_j} = 0))$ on regarde $\frac{\partial f_1}{\partial x_1}$

localement f_1 submersif à un difféomorphisme local à la source près, $f_1(x) = x_1$

donc $f(x) = (x_1, f_2(x_1, x'), \dots, f_p(x_1, x'))$ $x' = (x_2, \dots, x_n)$

x critique par $f \iff \text{rg} \begin{pmatrix} 1 & 0 & \dots & 0 \\ \frac{\partial f_2}{\partial x_1} & \dots & \frac{\partial f_2}{\partial x_n} \\ \vdots & & \vdots \\ \frac{\partial f_p}{\partial x_1} & \dots & \frac{\partial f_p}{\partial x_n} \end{pmatrix} < p \iff \text{rg} \begin{pmatrix} \frac{\partial f_2}{\partial x_1} & \dots & \frac{\partial f_2}{\partial x_n} \\ \vdots & & \vdots \\ \frac{\partial f_p}{\partial x_1} & \dots & \frac{\partial f_p}{\partial x_n} \end{pmatrix} < p-1$

donc si on pose $g_H(x') = (f_2(x_1, x'), \dots, f_p(x_1, x'))$ on a

$C(f) = \bigcup_H H \times C(g_H)$, donc $VC(f) = \bigcup_H H \times VC(g_H)$, or par récurrence

$\text{Vol}(VC(g_H)) = 0$ dans \mathbb{R}^{p-1} donc par Fubini $\text{Vol}(VC(f)) = 0$

conséquence. $f = X \rightarrow Y \in C^\infty$ X, Y variétés X séparable. Alors les valeurs régulières de f sont denses dans Y .

démonstration. problème local autour x via une carte on peut supposer Y ouvert de \mathbb{R}^p .

on regarde des arcs de cubes (U_n) couvrant X . $VC(f) = \bigcup_n (VC(f \mid U_n))$ d'où

le résultat.

b) applications

Brouwer $f: B \rightarrow B \ C^\infty \Rightarrow f$ a un point fixe.

démonstration. Soit $r: B \rightarrow \partial B$ rétraction γ valeur régulière $r^{-1}(\gamma)$ variété compacte de dimension 1 à bord nul vide γ pas possible. ($r^{-1}(\gamma)$ union finie d'intervalles et de cercles)

Brouwer continu. $f: B \rightarrow B \ C^0 \Rightarrow f$ a un point fixe.

étendre f à \mathbb{R}^n . approcher f sur B par $g_n \ C^\infty$ à valeurs ds \mathbb{R}^n $n > 1$ $n \rightarrow \infty$
prendre $f_n = g_n/n$. approche unifié f sur B , à vals ds B or C^∞ f_n a un pt fixe x_n qui après extraction tend vers un pt fixe de f .

degré. variété orientable: changements de cartes préservant l'orientation de \mathbb{R}^n (difféomorphismes à jacobien positif), orientée: choix d'une orientation de \mathbb{R}^n , donne celle de \mathbb{R}^n

variété orientable à bord: idem, orientation de X donne celle de ∂X par

sortant + orientation de $\partial X =$ orientation de X . exemple: S^2, T^2 , Möbius

degré de $f: X \rightarrow Y \ C^\infty$, X compacte orientée Y connexe orientée $\dim X = \dim Y = d$
c'est $\deg f = \deg(f, \gamma) = \sum_{x \in f^{-1}(\gamma)} \epsilon(x)$ γ valeur régulière

donc $d_x f: T_x X \xrightarrow{\sim} T_{f(x)} Y$ $\epsilon(x) = +1$ si $d_x f$ préserve les orientations, -1 sinon.

proposition $\deg f$ ne dépend pas de γ valeur régulière, $\deg f = \deg g$ si f, g sont C^∞ -homotopes.

démonstration.

lemme On suppose $X = \partial Z$ Z compacte orientée à bord. et f s'étend en $F: Z \rightarrow Y \ C^\infty$

admettons-le. $F: [0, 1] \times X \rightarrow Y$ homotopie C^∞ γ valeur régulière par f, g
 $\partial([0, 1] \times X) = \{1\} \times X - \{0\} \times X$ (avec les orientations). Donc $\deg(f, \gamma) = \deg(g, \gamma)$

$\deg(f, \gamma)$ indépendant de γ ! γ, γ' deux valeurs régulières
 $h: Y \rightarrow Y$ difféomorphisme isotopie à l'identité (donc préserve l'orientation) $h(\gamma) = \gamma'$.

f et $h \circ f$ isotopes, γ' valeur régulière commune donc $\deg(f, \gamma') = \deg(h \circ f, \gamma') = \deg(f, \gamma)$

démonstration du lemme. $\deg(f, \gamma)$ ne change pas quand on bouge un peu γ . Donc γ

aussi valeur régulière de F et $F^{-1}(\gamma)$ variété de dimension 1 à bord. $F^{-1}(\gamma) = C$
orientée car transversalement orientée par F et Z orientée orientation de C + orienté transverse

\cong orientation de Z . composante de $C \cong [0, 1]$ en la paramétrisant de manière positive par $c(t)$
 $c(0)$ ds ∂Z $c(1)$ aussi $c'(0)$ rentre $c'(1)$ sort donc l'orientation transverse en 1 est celle de X

en 0 l'opposé: $\epsilon(c(1)) = +1$ et $\epsilon(c(0)) = -1$

exemple: $a: S^2 \rightarrow S^2$ antipodale $\deg a = -1$ donc $a \notin Id$ donc pas de chpt de vecteurs jamais
nul sur S^2 : $\sin \theta \cdot v(x) \perp x$ donne $(f, x) \mapsto \sin(\theta) v(x) + \cos(\theta) x$
 $\|v(x)\| = 1$

4. Surfaces.

S surface compacte connexe orientée (éventuellement plongée dans \mathbb{R}^n)

exemples : S^2, T^2 plus ?

a) somme connexe.

disque dans S : $U \xrightarrow{\varphi} 2D$ carte $\Delta = \varphi^{-1}(D)$

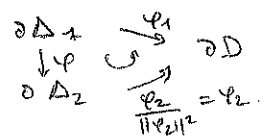
définition. $S_1 \# S_2 = S_1 - \Delta_1 \cup_{\varphi} S_2 - \Delta_2$ $\bar{\sigma}$. $\varphi: \partial\Delta_1 \xrightarrow{\cong} \partial\Delta_2 = \varphi_2^{-1} \circ \varphi_1$

c'est une surface compacte connexe.

carte près du recollement

$$U_1 - \Delta_1 \xrightarrow{\varphi_1} 2D - D \quad U_2 - \Delta_2 \xrightarrow{\varphi_2 / \|\varphi_2\|^2} \bar{D} - \frac{1}{2}D$$

qui se recollent bien:



orientée si φ_1 préserve l'orientation φ_2 la renverse donc $\frac{\varphi_2}{\|\varphi_2\|^2}$ la préserve.

exemple. $S \# S^2 \cong S$ carte de $S^2 =$ projection stéréographique de pôle Nord P_N (renverse l'orientation) $\frac{P_N}{\|P_N\|^2} = P_S$ qui se projette de $S^2 \xrightarrow{P_N} \mathbb{R}^2 \cup \{\infty\}$.

donc la carte est $U - \Delta \xrightarrow{\varphi} 2D - D$, $S^2 - S^2 \xrightarrow{P_S} \bar{D}$. Donc l'application de $S \# S^2 \rightarrow S$ définie par Id sur $S - \Delta$ et $\varphi^{-1} \circ P_S$ sur $S^2 - S^2$ est un difféomorphisme.

proposition. $S_1 \# S_2$ est indépendant des choix faits à diffeomorphisme près.

conséquence. associativité $(S_1 \# S_2) \# S_3 \cong S_1 \# (S_2 \# S_3)$

(prendre deux disques disjoints sur S_2 pour rendre indépendants les recollements)

définition $S_g = T^2 \# \dots \# T^2$ g fois. surface (compacte connexe orientée)

de genre g . courbure $S_0 = S^2$.

démonstration de la proposition : $\bar{\sigma}$ homéomorphisme près.

lemme 1 les difféomorphismes (isotopes à l'identité) agissant transitivement sur les disques de S .

lemme 2 les difféomorphismes du cercle préservant l'orientation sont isotopes entre eux.

Ceci suffit : $S_1 \# S_2 = S_1 - \Delta_1 \cup_{\varphi} S_2 - \Delta_2$ $S_1 \#^1 S_2 = S_1 - \Delta'_1 \cup_{\varphi'} S_2 - \Delta'_2$

φ_1 difféomorphisme de S_1 | $\varphi_1(\Delta_1) = \Delta'_1$ φ_2 idem d'is via φ_1 et φ_2 $S_1 \# S_2 \cong S_1 - \Delta'_1 \cup_{\varphi''} S_2 - \Delta'_2$

$\bar{\sigma}$ $\varphi'' = \varphi_2 \circ \varphi \circ \varphi_1^{-1}$ renverse l'orientation. $\varphi^{-1} \circ \varphi''$ difféomorphisme de $\partial\Delta'_1$ préservant l'orientation.

donc isotope à l'identité. via φ' anneau autour de $\partial\Delta'_1$ de S_1 homéomorphe à $\partial\Delta'_1 \times [0, 1]$ avec $\partial\Delta'_1 \times \{0\} = \partial\Delta'_1$. on implante φ' comme un

homéomorphisme de cet anneau qui vaut Id sur le bord extérieur et $\varphi^{-1} \circ \varphi''$ sur $\partial\Delta'_1$ d'is

$\psi: S_1 - \Delta'_1 \xrightarrow{\cong} S_1 - \Delta'_1$ on met Id sur $S_2 - \Delta'_2$ cela réalise un homéomorphisme entre $S_1 - \Delta'_1 \cup_{\varphi''} S_2 - \Delta'_2$ et $S_1 - \Delta_1 \cup_{\varphi} S_2 - \Delta_2 = S_1 \# S_2$. car $\begin{matrix} \partial\Delta'_1 & \xrightarrow{\psi = \varphi^{-1} \circ \varphi''} & \partial\Delta'_1 \\ \varphi'' \downarrow & & \downarrow \varphi' \\ \partial\Delta_2 & = & \partial\Delta_2 \end{matrix}$

démonstration du lemme 2. $S \xrightarrow{\varphi} S'$ préservant l'orientation on le relève. $\varphi: \mathbb{R} \xrightarrow{\sim} \mathbb{R}$ préservant l'orientation dans structure croissante. $(-t) \varphi + t \text{Id}$ est l'isotopie.

démonstration du lemme 1. S, Δ, Δ' . $\Delta = \varphi^{-1}(\mathbb{D})$. $\Delta' = \varphi'^{-1}(\mathbb{D})$.

d'abord existe φ_ε différentiable de S | $\varphi_\varepsilon(\Delta) = \Delta_\varepsilon = \varphi^{-1}(\varepsilon \mathbb{D})$ petit voisin de $x = \varphi^{-1}(0)$: dans la carte on considère le champ $X_v \Leftrightarrow v = \frac{x}{\|x\|} (1-\varepsilon)$ X plumeau au bord de $[\varepsilon, 1]$ en une.

$\varphi_\varepsilon = \varphi \circ \varphi_\varepsilon^{-1}$ prolongé par Id. ensuite existe ψ différentiable de S | $\psi(x) = x$ $\psi(\Delta_\varepsilon) = \Delta'_\varepsilon$ pas nul mais de la carte. évite / a 0.

ψ'_ε construit de manière analogue. | $\psi'_\varepsilon(\Delta'_\varepsilon) = \Delta$. (champ X_v $v = \frac{x}{\|x\|} \delta(\frac{x}{\|x\|})$)

b) fonctions de Morse.

motivation. étude d'une surface en la découvrant par les niveaux d'une fonction. (cinéma de courbes) ou via l'évolution de la topologie des sous-niveaux. Exemple : hauteur d'un terrain. importance des points critiques, de l'aspect de la fonction près de chacun d'eux.

définition $f: S \rightarrow \mathbb{R}$ est de Morse si tous ses points critiques sont non dégénérés.

non dégénéré : f loc dans une carte a une Hessienne inversible, on ce point.

p $\varphi(p) = 0$ $f(p) = 0$ $g(x,y) = f \circ \varphi^{-1}(x,y) = \frac{1}{2} \left[\frac{\partial^2 g}{\partial x^2}(0) x^2 + 2 \frac{\partial^2 g}{\partial x \partial y}(0) xy + \frac{\partial^2 g}{\partial y^2}(0) y^2 \right] + o(3)$

$\begin{pmatrix} \frac{\partial^2 g}{\partial x^2} & \frac{\partial^2 g}{\partial x \partial y} \\ \frac{\partial^2 g}{\partial x \partial y} & \frac{\partial^2 g}{\partial y^2} \end{pmatrix}$ inversible

indépendant de la carte : lemme. $g: \mathbb{R}^2_0 \rightarrow \mathbb{R}$ $g(0) = 0$ $\psi: \mathbb{R}^2_0 \xrightarrow{\sim} \mathbb{R}^2_0$ difféomorphisme local ab.

démonstration. $\psi: x_1, x_2 \mapsto u_1, u_2$ Hessienne $(g \circ \psi) = \psi^* \text{Hess}_g \psi$ $\text{Hess}_g(0) = \text{Jag}_g \psi$ $\text{Hess}_g(0) = \text{Jag}_g \psi$

$\frac{\partial^2 g}{\partial x_i \partial x_j} \Big|_0 = \frac{\partial}{\partial x_i} \frac{\partial g}{\partial x_j} \Big|_0 = \frac{\partial}{\partial x_i} \left(\frac{\partial g}{\partial u_1} \frac{\partial u_1}{\partial x_j} + \frac{\partial g}{\partial u_2} \frac{\partial u_2}{\partial x_j} \right) \Big|_0$

il faut redériver g sans 0 $= \frac{\partial^2 g}{\partial u_1^2} \frac{\partial u_1}{\partial x_i} \frac{\partial u_1}{\partial x_j} + \frac{\partial^2 g}{\partial u_2^2} \frac{\partial u_2}{\partial u_1} \frac{\partial u_1}{\partial x_i} \frac{\partial u_1}{\partial x_j} + \frac{\partial^2 g}{\partial u_1 \partial u_2} \frac{\partial u_2}{\partial x_i} \frac{\partial u_1}{\partial x_j} + \frac{\partial^2 g}{\partial u_2 \partial u_1} \frac{\partial u_2}{\partial x_i} \frac{\partial u_1}{\partial x_j} \Big|_0$

d'où le résultat. $= \begin{pmatrix} \frac{\partial u_1}{\partial x_i} & \frac{\partial u_2}{\partial x_i} \end{pmatrix} \text{Hess}_g(0) \begin{pmatrix} \frac{\partial u_1}{\partial x_j} \\ \frac{\partial u_2}{\partial x_j} \end{pmatrix}$

conséquence la signature de la Hessienne bien définie indépendante de la carte.

indice du point critique non dégénéré : nombre de -.

lemme de Morse. $f: S \rightarrow \mathbb{R}$ fonction de Morse. p point critique de f

alors existe un voisinage local de S près de p dans ce voisinage $f = f(p) + x^2 + y^2$ (indice 0) $f = f(p) + x^2 - y^2$ (indice 1) $f = f(p) - x^2 - y^2$ (indice 2) (minimum, selle, maximum)

conséquence. points critiques isolés, on nombre fini.

démonstration. $f(p) = 0$, $f \circ \varphi^{-1} = g = r(x,y) x^2 + 2s(x,y) xy + t(x,y) y^2$

$r, s, t \in C^\infty$ $r(x,y) = \int_0^1 (1-t) \frac{\partial^2 g}{\partial x^2}(tx, ty) dt$ $s(x,y) = \int_0^1 (1-t) \frac{\partial^2 g}{\partial x \partial y}(tx, ty) dt$

$t(x,y) = \int_0^1 (1-t) \frac{\partial^2 g}{\partial y^2}(tx, ty) dt$. (Formule de Taylor avec reste moyen)

$rt - s^2 \neq 0$ $rt - s^2 > 0$ $r > 0$ $t > 0$ (indice 0) $g = \left(\sqrt{r}x + \frac{s}{\sqrt{r}}y\right)^2 + \left(y\sqrt{\frac{rt-s^2}{r}}\right)^2$

$(x,y) \mapsto \left(\sqrt{r}x + \frac{s}{\sqrt{r}}y, y\sqrt{\frac{rt-s^2}{r}}\right)$ difféomorphisme local

$rt - s^2 > 0$ $r < 0$ $t < 0$ idem. $rt - s^2 < 0$ semblant si $r < 0$ et $t > 0$ s'annule on s'y ramène par un choix de variable (même).

existence de fonctions de Morse

$S \subset \mathbb{R}^n$
proposition $S \rightarrow \mathbb{R}, x \mapsto \|x-p\|^2$ est de Morse pour presque tout p .

démonstration. $NS = \text{fibre normal de } S = \{ (x,v) \text{ de } (\mathbb{R}^n \times \mathbb{R}^n) \mid x \text{ de } S, v \perp T_x S \}$
 variété de dimension n .

lemme. x point critique dégénéré de $\|\cdot-p\|^2 \iff (x, p-x)$ point critique de $e: NM \rightarrow \mathbb{R}^n$
 $(x,v) \mapsto x+v$

donc $\|\cdot-p\|^2$ pas de Morse sur $S \iff p$ valeur critique de e . (p point focal)

démonstration. on prend S près de x par g $g(0)=x$. on regarde $\|g(u)-p\|^2$
 par Taylor $\|g(u)-p\|^2 = \|x-p\|^2 + 2\langle x-p, \frac{\partial g}{\partial u_1}(0)u_1 + \frac{\partial g}{\partial u_2}(0)u_2 \rangle + \sum_{i,j} \frac{\partial^2 g}{\partial u_i \partial u_j}(0)u_i u_j, x-p \rangle$
 $+ \|\frac{\partial g}{\partial u_1}(0)u_1 + \frac{\partial g}{\partial u_2}(0)u_2\|^2 + O(3)$

x point critique de $\|\cdot-p\|^2 \iff x-p \perp T_x S$ de plus.
 " dégénéré $\iff \left(\langle \frac{\partial^2 g}{\partial u_i \partial u_j}(0), x-p \rangle + \langle \frac{\partial g}{\partial u_i}(0), \frac{\partial g}{\partial u_j}(0) \rangle \right)_{ij}$ non inversible.

point critique de e : description de $T_{(x,v)} NS$: description de NS par équation:
 donc on différentie équation de $T_{(x,v)} NS$.

$x = g(u), \langle v, \frac{\partial g}{\partial u_i}(u) \rangle = 0$
 $\delta x = \frac{\partial g}{\partial u_1}(u) \delta u_1 + \frac{\partial g}{\partial u_2}(u) \delta u_2$
 $\langle \delta v, \frac{\partial g}{\partial u_i}(u) \rangle + \langle v, \sum_j \frac{\partial^2 g}{\partial u_i \partial u_j}(u) \delta u_j \rangle = 0$ (*)
 or (*) vérifié.

$(\delta x, \delta v)$ dans le noyau de e si $\delta x + \delta v = 0$ avec $\delta x \neq 0$.
 donc $\delta v = -\delta x = -\frac{\partial g}{\partial u_1}(u) \delta u_1 - \frac{\partial g}{\partial u_2}(u) \delta u_2 \neq 0$ et $\sum_j \left(\langle \frac{\partial g}{\partial u_i}(u), \frac{\partial g}{\partial u_j}(u) \rangle + \langle \frac{\partial^2 g}{\partial u_i \partial u_j}(u), x-p \rangle \right) \delta u_j = 0$
 S'ensuit conclut.
 $p = x+v$ d'où le résultat.

c) Classification des surfaces.

S surface compacte connexe orientée ($\subset \mathbb{R}^n$) $f: S \rightarrow \mathbb{R}$ de Morse.
 évalution des sous-niveaux $S_a = \{f \leq a\}$ surface à bord si a valeur régulière.

entre deux valeurs critiques.
proposition. $[a,b]$ sans valeurs critiques alors $S_a \cong S_b$ or $S_b - S_a \cong \partial S_a \times [0,1]$

démonstration. gradient de f ∇f s'annule aux pts critiques, \perp aux lignes de niveau
 $v = \frac{\nabla f}{\|\nabla f\|^2}$ X $0 \leq X \leq 1$ 0 près des points critiques \perp hors d'un voisinage des points critiques.

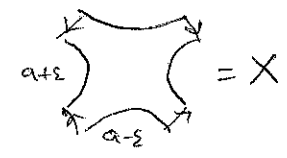
(φ_t) son flot. $\frac{d}{dt} f(\varphi_t) = d_{\varphi_t} f(\varphi_t) = X_0 \varphi_t$ d'où
 $\varphi_{b-a} = S_a \rightarrow S_b$ $\varphi_{a-b} = S_b \rightarrow S_a$ (car $X \equiv 1$ sur $S_b - S_a$) de même
 $\partial S_a \times [0, b-a] \rightarrow S_b - S_a$ $(x,t) \mapsto \varphi_t(x)$ d'inverse $x \mapsto (\varphi_{-t}(x), t = f(x) - a)$

passage d'une valeur critique correspondant à un point critique d'indice 1 (unique)
 à ce niveau

proposition. $S_{a+\epsilon} \cong S_{a-\epsilon} \cup_{\varphi} \varphi$ $\varphi = [0,1] \times [0,1]$ $\varphi = \partial_h \varphi \hookrightarrow \partial S_{a-\epsilon}$
 renverse l'orientation.

effect sur $\partial S_{a-\epsilon} \rightarrow \partial S_{a+\epsilon}$ crée \circ déduit un cycle non trivial du niveau

démonstration: près du point critique p on voit $f = a + x^2 - y^2$



via les lignes de gradient arêtes

$$S_{a+\epsilon} = S_{a-\epsilon} \cup X \cup (S_{a+\epsilon} - \overset{\circ}{S}_{a-\epsilon} - X)$$

cette dernière partie étant $\cong (\partial S_{a-\epsilon} - X) \times [0,1]$ par le théorème (flot du gradient modifié). on peut d'ailleurs repousser cette dernière partie de $S_{a-\epsilon}$ d'où:

$$S_{a+\epsilon} = S_{a-\epsilon} \cup \text{arête} \cong S_{a-\epsilon} \cup \rho$$

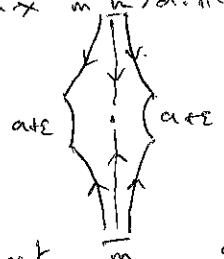
préparation de la fonction de Morse.

Sans changer les points critiques, ni leur nature, on peut abaisser les minimums à m (minimum global), monter les maximums à M (maximum global),

supposer que les selles possèdent des voisinages canoniques étendus par les lignes de gradient minimales. On peut supposer que celles-ci (en tant que négatives) descendent

jusqu'à m. (si faux on modifie le gradient en un pseudo-gradient)

La lecture de f y donne:



$a + x^2 - y^2$ dans ce type de voisinage étendu.

Dans un tel voisinage on peut abaisser la selle entre m et a. On va le faire algébriquement on fait des choix judicieux.

Hypothèse. $S \cong S_g$. Si $f: S \rightarrow \mathbb{R}$ est de Morse (propriété) $g = \frac{c_1 - (c_0 - 1 + c_2 - 1)}{2}$

ou $c_i = \#$ points d'indice i. (remarque: on pose $\chi(S) = c_0 + c_2 - c_4, 2 - 2g = \chi(S)$)

démonstration. $S_{m+\epsilon}$ consiste en c_0 disques. Puisque S est connexe

nécessaire en peut les connecter via $c_0 - 1$ selles, donc les variétés stables

les en chaînes 2 par 2. On abaisse ces points selle, au niveau $m+2\epsilon$ d'où:

$$S_{m+3\epsilon} \cong \mathbb{D}^2 \quad (\text{le fait pour } g=2, \text{ lire le résultat d'un modèle car le résultat est indépendant des choix d'attacher})$$

De même on peut monter $c_2 - 1$ selles au niveau $M - 2\epsilon$ de sorte que $S = \overset{\circ}{S}_{M-3\epsilon} \cup \mathbb{D}^2$

Restent un certain nombre de points selle.

de $m+3\epsilon$ au premier niveau a_1 : $\partial S_{a_1+2\epsilon}$ disconnexe or $\partial S_{M-3\epsilon}$ connexe \Rightarrow existe un autre point selle s'attache s.r les deux copies de $\partial S_{a_1+2\epsilon}$ les reconnecte

on l'abaisse à $a_1+2\epsilon$. On lit le résultat: $S_{a_1+3\epsilon} - \overset{\circ}{S}_{a_1-2\epsilon} \cong \Sigma = T^2 - (\overset{\circ}{D}_1 \cup \overset{\circ}{D}_2)$

$$S \cong \mathbb{D}^2 \cup \underbrace{\Sigma \cup \dots \cup \Sigma}_{\partial \mathbb{D}^2 \cong \partial \mathbb{D}^1} \cup \mathbb{D}^2 \cong \# T^2$$



5. Poincaré - Hopf.

quantifier la boucle caract.

$S \subset \mathbb{R}^3$ surface compacte connexe orientée. v champ de vects à zéro isolés.

indice de v en z

$w = \varphi_* v$ φ carte : champ de vecteurs ds \mathbb{R}^2_0 à zéro isolé de w .
(préservant l'orientation)

$\text{ind}(v, z) = \text{ind}(w, 0) = \text{deg} \frac{w}{\|w\|} : \partial D_\varepsilon \rightarrow \partial D_1 \xrightarrow{\cong} S^1$ petit.

exemple gradient d'un minima, maxima : +1 gradient d'un selle : -1

indépendant de la carte.

lemme $\text{ind}(w, 0) = \text{ind}(\varphi_* w, 0)$ $\varphi : \mathbb{R}^2_0 \xrightarrow{\cong} \mathbb{R}^2_0$ préservant l'orientation.

démonstration. φ isotope à id via φ_t d'où $\text{ind}(\varphi_t w, 0)$ constant.

$(x, t) \mapsto \frac{\varphi_t(x)}{t}$ isotope φ à id via φ_t puis $\mathbb{R}^2_0 \xrightarrow{\cong} \mathbb{R}^2_0$ connexe.

remarque \tilde{m} définition et invariance par un zéro isolé d'un champ de vects de \mathbb{R}^3 .

théorème (Poincaré - Hopf) v champ de vectrs à zéros isolés de $S \subset \mathbb{R}^3$ compacte connexe orientée

$\sum_{\text{zéros } v} \text{ind}(v, z)$ indépendant de v on le note $\chi(S)$.

outils application de Gauss de S $G : S \rightarrow S^2$ (normale extérieure au domaine bord par S)

voisinage tubulaire de S $f : S \times]-\delta, \delta[\rightarrow \mathbb{R}^3$ $(x, t) \mapsto x + tG(x)$

plongement par δ petit $T = f(S \times]-\delta, \delta[)$

démonstration. extension de v à $T : \nabla(f(x, t)) = \cos(\frac{\pi t}{\delta}) v(x) + \sin(\frac{\pi t}{\delta}) G(x)$.

zéros de $\tilde{v} =$ zéros de v $\tilde{v}|_{\partial \pm T} = \pm G$ $X = T \cup \underset{\text{zéro } v}{B(2, \varepsilon)}$

$\frac{\tilde{v}}{\|\tilde{v}\|} : X \rightarrow S^2$ d'où $\text{deg} \frac{\tilde{v}}{\|\tilde{v}\|} |_{\partial X} = 0$ $\partial X = \partial^+ T - \partial^- T - \cup \partial B(2, \varepsilon)$

d'où $2 \text{deg} G = \sum \text{ind}(\tilde{v}, z)$.

lemme $\text{ind}(\tilde{v}, z) = \text{ind}(v, z)$ qui conclut

en effet si w est v lu dans un parallèle φ ($\varphi_* w = v$) on l'étend à

\mathbb{R}^3 via l'extension de φ $(x, t) \mapsto \varphi(x) + tG(\varphi(x)) = \tilde{w}$ | $\varphi_* \tilde{w} = \tilde{v}$.

propriétés : $\tilde{w}(x, t)$ horizontal $\Leftrightarrow t=0$

$\frac{\partial \tilde{w}}{\partial t}(x, 0)$ vertical.

donc $\frac{\tilde{w}}{\|\tilde{w}\|} : \partial B_\varepsilon \rightarrow S^2$ y dans $S^1 = S^2 \cap \mathbb{R}^2$ valeur régulière de $\frac{\tilde{w}}{\|\tilde{w}\|}$
 $\Leftrightarrow y$ valeur régulière de $\frac{w}{\|w\|} : \partial D_\varepsilon \rightarrow S^1$

d'où le résultat.

calcul de $\chi(S) : \chi(S_g) = 2 - 2g$ via le gradient d'une fonction hauteur

conséquence le genre g est invariant sur difféomorphisme.

interprétations de $\chi(S)$

en termes de triangulation

triangulation de S $S = \bigcup_{\text{finie}} \tau_i$ $\tau_i \simeq \tau$ (diffé) $\tau =$ triangle standard.

nombre de sommets, d'arêtes des τ_i . vérifie les conditions d'incidence

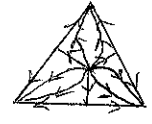
$\tau_i \cap \tau_j = \emptyset, \text{ sommet, arête, triangle}$

$S = \# \text{ sommets}$ $a = \# \text{ arêtes}$ $f = \# \text{ triangles}$

théorème $\chi(S) = s - a + f$. (indépendant de la triangulation)

démonstration on construit un champ de vecteurs triangle par triangle que l'on recolle.

on transporte celui-ci.



d'où s maxima, f minima, a selles (gradients) et $\chi(S) = s - a + f$ par Poincaré-Hopf.

remarque $\chi(S_1 \# S_2) = \chi(S_1) + \chi(S_2) - 2$ on retrouve $\chi(S_g) = 2 - 2g$

en termes de courbure.

courbure de Gauss de S $K(x) = \det d_x G$ dans des bases orthonormales positives.

élément d'aire de S da dans un paramétrage local φ $\| \frac{\partial \varphi}{\partial x} \wedge \frac{\partial \varphi}{\partial y} \| dx dy$.

invariant sur changement de paramétrage (changement de variable)

théorème (Gauss-Bonnet extrinsèque) $\int_S K da = 2\pi \chi(S)$

remarque il y a une version intrinsèque plus forte pour les surfaces abstraites, qui donne des contraintes topologiques = l'existence de métriques à courbure constante.

démonstration. $2\pi \chi(S) = 4\pi \deg G = \int_{S^2} dg_G da_0$
changement de variable: $G: V \xrightarrow{\simeq} V$ alors $\int_V K da = \pm \int_U da_0$.

Sard $\int_{S^2} dg_G da_0 = \int_{S^2 - VC(G)} dg_G da_0$

$G: S - G^{-1}(VC(G)) \rightarrow S^2 - VC(G)$ recouvrement On recouvre la base

modulo ensemble de mesure nulle d'arêtes disjointes U on a nombre dénombrable.

$G^{-1}(U) = \bigcup V_i$ $\varepsilon(i) = \pm 1$ selon que G préserve ou renverse l'orientation.
Vérif U . donc $\int_U dg_G da_0 = \sum \varepsilon(i) \int_{V_i} da_0 = \sum \varepsilon(i)^2 \int_{V_i} K da = \sum \int_{V_i} K da$.

d'où $\int_{S^2 - VC(G)} dg_G da_0 = \int_{S - G^{-1}(VC(G))} K da$

finalement $\int_{G^{-1}(VC(G))} K da = \int_{C(G)} K da + \int_{G^{-1}(VC(G)) - C(G)} K da = 0$
" car $K|_{C(G)} \stackrel{=0}{\neq}$ " car loc. différentiable à quelq. chose de mesure nulle